# Pemodelan Dan Identifikasi Sistem Nonlinier Dengan Estimasi Parameter Menggunakan Algoritma Genetik (*Genetic Algorithm*)

## Ade Elbani

Jurusan Teknik Elektro Fakultas Teknik, Universitas Tanjungpura Pontianak e-mail:adeelbani@yahoo.com

Abstract- Penelitian ini akan menjelaskan suatu perubahan metode sistem identifikasi untuk sistem mechatronik yang mengandung beberapa elemen ketidaklinieran (nonliier). Pada penelitian kejenuhan (saturasi) terdapat pada power series konverter, dan gesekan (friction) mekanis terdapat pada komponen-komponen nonlinier. Beberapa diantaranya sulit dideteksi dan atau diidentifikasi secara langsung. Pada metoda yang identifikasi ini akan bisa menentukan struktur elemen linier maupun nonlinier dari sistem secara bersama dengan Algorithma Genetik. Pada model polinomial dengan metoda ini, keteramatan variabel input/output menyatakan komponen-komponen linier, dan variabel fower series dinyatakan sebagai fungsi nonlinier. Algoritma genetik digunakan untuk mengoptimalkan gabungan dari variabel-variabel ini (linier dan nonlinier). Tingkat efektivitas dari metode yang diusulkan diuji dengan percobaan menggunakan 2-mass resonant vibration system.

**Keywords**– Sistem mechatronik, Friction, Identifikasi, Algorithma Genetik, 2-mass resonant vibration.

## 1. Pendahuluan

Sistem *Mechatronics* (Mechanic dan elektronik) seperti misalnya Robot industri atau peralatan NC Controller, terdapat berbagai ketidaklinieran. Misalnya friction (gesekan) pada system mekanik dan tourque saturation (kejenuhan) system elektronik, akan sering muncul. Pada umumnya ketidaklinieran akan menurunkan performansi kontrol. Untuk mengatasi problem seperti ini akan sangat efisien metoda menerapkan kompensasi jika dengan Dengan menggunakan kontroller nonlinier. menggunakan model identifikasi system akan diketahui kesulitan-kesulitan untuk merancang system kontrol secara keseluruhan dengan mengurangi kompensator. Perancangan ini membutuhkan identifikasi, selanjutnya akan didapat model yang akurat untuk kompensasi nonlinier.

Sistem nonlinier dapat dipisahkan menjadi "bagian element nonlinier" dan "bagian element linier", yang biasa disebut sebagai *Block Oriented Model*. Salah satu contoh dari block oriented model adalah *Hammerstain Model*, yang mana unsur-unsur dari bagian linier dan nonlinier model diketahui. Sebagai contoh identifikasi system nonlinier menggunakan *Hammerstain model*[3], yakni penjelasan skema menggunakan *Neural Network (NN)* untuk bagian statik nonlinier dan metoda ARX

(auto-regressive eXogeneous) untuk bagian dinamik linier. Pada kasus ini, sinyal pengajar (sinyal referensi) untuk identifikasi nonlinier adalah sangat dibutuhkan. Hal ini disebabkan kesulitan mendeteksi sinyal nonlinier pada system mechatronic, yang selalu memberi respon kurang baik, ini merupakan kesulitan yang umumnya dialami pada identifikasi nonlinier.

Dengan asumsi tersebut model yang diusulkan akan digunakan untuk merancang kontroller/kompensator. pada penelitian ini akan difokuskan pada system identifikasi, dimana karakteristik komponen nonlinier dan struktur dinamik komponen nonlinier tersebut diketahui. Pada penulisan ini, identifikasi suatu system yang mana untuk mengidentify element nonliner dan element liniernya akan dilakukan secara bersama. Untuk menyatakan komponen-komponen nonlinier, fungsi nonlinier, power series variable digunakan teorema taylor (untuk linierisasi), dan untuk mendapatkan dinamika linier, digunakan variabel time delay. Dengan menggunakan Algoritma Genetik[4,5], sub-optimal matematik yang model menyatakan komponenkomponen linier dan nonlinier secara bersama, akan diperoleh pada proses identifikasi ini.

Pada paper ini, keefektivan (effectiveness) metoda yang diusulkan akan diuji dengan **2-mass Vibration resonant system** (seperti pada gambar 1) yang merupakan salah satu contoh dari system mechatronik. Sebagai komponen-komponen nonlinier system *friction* adalah untuk system mekanik, dan *tourque saturation* (torsi saturasi) untuk system elektronik.

## 2. Metoda identifikasi dengan Algoritma Genetik

## 2.1 Target System

Pada gambar 1 ditunjukkan Motor listrik beserta beban (2-mass resonant vibration system) yang akan diidentifikasi, gambar 2 adalah blok diagramnya. Keterangan parameter yang akan digunakan gambar 1 adalah:

 $J_M = Momen inersia motor$ 

 $J_L = Momen inersia beban$ 

 $D_M = Koefisien dumping motor$ 

 $D_L = Koefisien dumping beban$ 

 $K_G = Konstanta torsional$ 

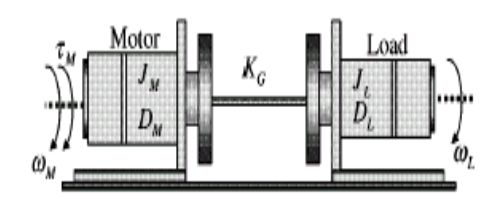
 $\omega_{\rm M} = Kecepatan sudut motor$ 

 $\omega_L = Kecepatan sudut beban$ 

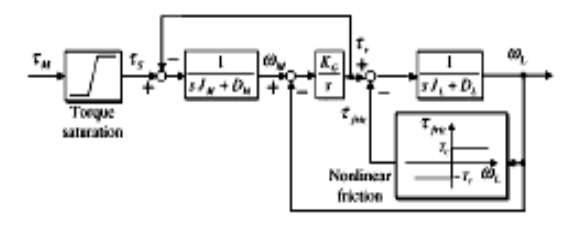
 $\tau_M = Input (tourque motor)$ 

 $\tau_S = Tourque \ motor \ nyata$ 

 $\tau_{fric} = Friction tourque.$ 



Gambar 1: 2-mass resonant vibration system



Gambar 2: Block diagram 2-mass resonant vibration system

#### 2.2 Model Matematik elemen nonlinier

Fungsi transfer diskrit antara  $\tau_s$  dengan  $\omega_L$  (terlihat pada gambar 2), ditunjukkan pada persamaan (1) berikut:

$$\frac{\omega_L(z)}{\tau_S(z)} = \frac{c_{n0} + \sum_{i=1}^n c_{ni} z^{-i}}{c_{m0} + \sum_{j=1}^m c_{mj} z^{-j}}$$
(1)

Disini  $c_{xx}$ : Koefisien

n dan m: Maksimum orde power

Bentuk polynomial dari persamaan (1) adalah :

$$\alpha_{\underline{l}}(k) = f_{lini}(\tau_{\underline{S}}(k), ... \tau_{\underline{S}}(k-n), \alpha_{\underline{l}}(k-1), ... \alpha_{\underline{l}}(k-n))$$
(2)

Pada gambar 2, torsi saturasi dan gesekan adalah komponen nonlinier. Dengan teorema taylor, torsi saturasi  $\tau_S$  ditunjukkan pada persamaan (3) berikut:

$$\tau_S(k) = c_0 + c_1 \tau_M(k) + c_2 \tau_M^2(k) + \dots + c_p \tau_M^p(k)$$
 (3)

Fungsi nonlinier  $f_{\it fric}(.)$ , yang menyatakan gesekan nonliner (nonlinier frection), tergantung pada kecepatan anguler beban  $\omega_L$ , ditunjukkan pada persamaan berikut:

$$\omega_{L}(k) = f_{linie}(\tau_{S}(k), \dots, \tau_{S}(k-n), \omega_{L}(k-1), \dots, \omega_{L}(k-n),$$

$$f_{fric}(\omega_{L}(k-1)), \dots, f_{fric}(\omega_{L}(k-m)))$$
(4)

Pensubstitusian pers (4) pada (2) memungkinkan untuk menyatakan system dengan elemen nonlinier sebagai polynomial model matematik. Dengan demikian, system ini bisa diidentifikasi secara menyeluruh dengan menggunakan input-output data tanpa mengidentifikasi element nonlinier  $\tau_S$ ,  $f_{fric}(.)$  secara langsung.

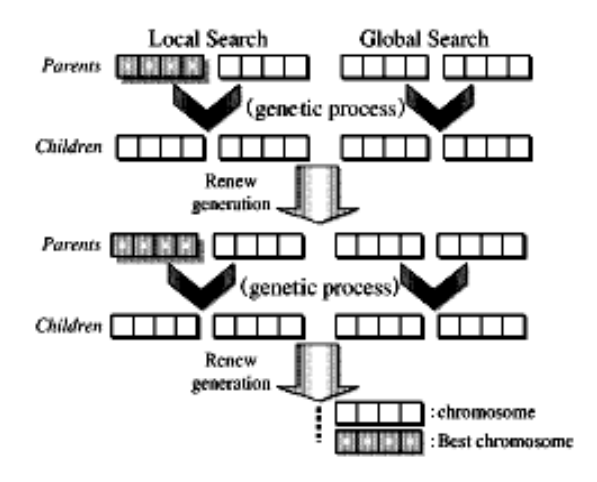
Pada identifikasi system target, hal ini sangat dibutuhkan untuk memilih kombinasi fower series, fungsi nonlinier dan variabel-variabel dengan time delay yang sesuai. Untuk mendapatkan identifikasi model matematik yang memuaskan, maka akan lebih efektif jika menggunakan Algoritma Genetik, dikarenakan hal tersebut dapat melakukan suatu kombinasi problem dengan optimasi.

#### 2.3 Algorithma Genetik

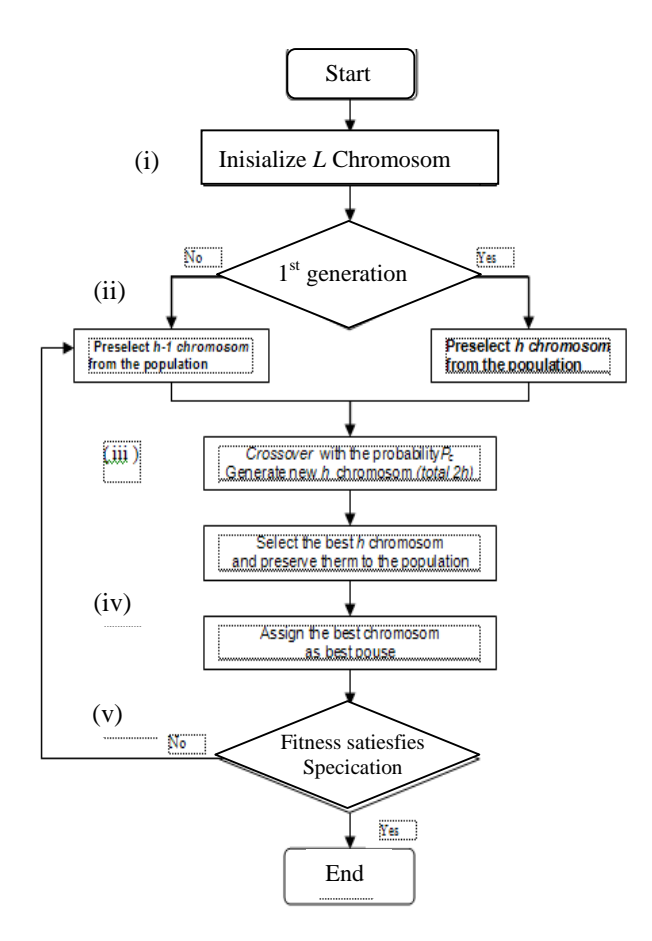
Pada penelitian ini, sub-optimal model matematik akan diperoleh dengan menggunakan Algoritma Genetik. Pada proses genetik, proses menjalani local search dan global search dilakukan secara serentak (bersamaan), berdasarkan pada metoda preselection[5]. Gambar 3 adalah outline dari proses genetik yang diusulkan. Untuk local search, chromosome yang terbaik pada setiap generasi dijadikan sebagai best spouse yakni sebagai crossover. Ini artinya cara mendapatkan harga chromosom terbaik sangatlah efisien dibandingkan menggunakan strategi genetik konvensional.

Prosedure identifikasi dengan Algorithma Genetik adalah sebagai berikut (gambar 4 menunjukkan *flowchart* nya):

- (i) Inisialisasi Crhomosom L sebagai populasi
- (ii) Pada iterasi pertama, chromosom h dipilih secara random, setelah generasi kedua, chromosom (h-1) dipilih secara random.
- (iii) Crossover chromosom h pada setiap pasang dengan kemungkinan probabilitas  $P_c$ , dan generasi baru chromosom h.
- (iv) Hitung nilai *fitness* untuk semua *chromosom 2h* setelah mengkonversi ke model matematik.
- (v) Jika nilai fitnes memenuhi spesifikasi, proses identifikasi berakhir, jika tidak kembali ke langkah (ii).



Gambar 3: Outline Proses Genetik

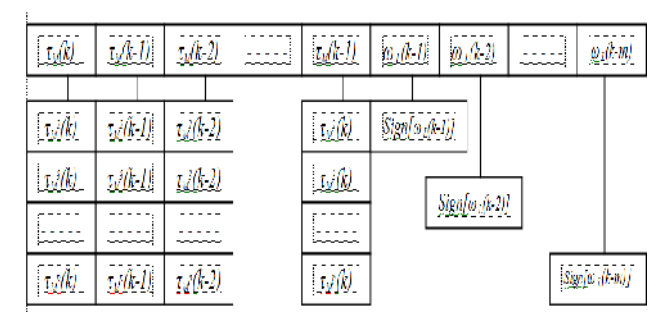


Gambar 4: Aliran Proses Identifikasi menggunakan Algorithma Genetik.

### 2.4 Perancangan Chromosom

Chromosom yang diusulkan pada metode ini terlihat pada gambar (5). Setiap locus dari chromosom dinyatakan dengan kode biner ('0' dan '1'), bagian linier dan nonlinier dari variabel input  $\tau_M$  dan variabel output  $\omega_L$  adalah ditandai. Untuk besarnya gaya gesekan (friction) tergantung pada kecepatan  $\omega_L$ , tanda fungsi sign() dari  $\omega_L$  digunakan untuk menyatakan friction nonlinier  $f_{fric}()$ [7]. Pada gambar (5), k adalah bilangan data, n dan m adalah maksimum time delay untuk variabel input-output, dan p adalah masimum orde dari fower series.

Setelah proses genetik dan mengkonversi dari *chromosom* ke model matematik, *fitness* dihitung pada langkah ke iv (lihat gambar 4). Pada proses tersebut, variabel input-output dari bagian linier *locusnya* adalah '1', hal ini sesuai dengan bagian nonlinier yang dikodekan. Pada pengkodean bagian nonlinier, kombinasi orde fower dengan time delay yang kecil sangat diharapkan, dan disatukan dengan semua variabel-variabel sedemikian hingga hasil kombinasinya baik.



Gambar 5: Pengkodean Chromosom

Model matematik  $\hat{\omega}_L$  dari hasil pengkodean chromosom pada gambar (5), dinyatakan dengan persamaan (5). Pada proses Algorithma Genetik, parameter-parameter yang tidak diperlukan akan dihilangkan (deleted)

$$\hat{\omega}_{L} = c_{0} + \sum_{i=0}^{n} c_{ii} \tau_{M}(k-i) + \sum_{j=1}^{m} c_{\omega j} \hat{\omega}_{L}(k-j) + \sum_{l=2}^{p} \sum_{i=0}^{n} c_{li} \tau_{M}^{l}(k-i)$$

$$+\sum_{j=1}^{m} c_{j} \operatorname{Sign} (\hat{\omega}_{L} (k-j))$$
 (5)

Coefisient  $c_{xx}$  diestimasi dengan metoda Least Square yakni menggunakan more-penrose's pseudo invers matrix[1]. Penjelasan tentang metoda Least Square tidak di bicarakan disini. Fitness yang dihasilkan dari model matematik, di validasi dengan metoda AIC (Akaike's Information Criteria), berikut:

$$AIC = N \log S + 2(l_{prm} + 1),$$

$$S = \frac{1}{N} \sum_{k=1}^{N} (\omega_{L}(k) - \hat{\omega}_{L}(k))$$
(6)

S adalah integrasi mean square error antara output yang sebenarnya  $\omega_L$  dan  $\hat{\omega}_L$  yang di peroleh,  $l_{prm}$  +1 merupakan bilangan parameter yang di gunakan pada model, N adalah jumlah data.

## 3. Pembuktian Metoda (Metoda Yang Diusulkan) 3.1 Eksperimen Dasar (Preliminary Experiment)

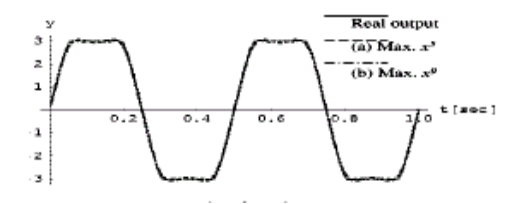
Eksperimen dasar adalah menentukan orde maksimum dari *fower series* seperti di perlihatkan pada gambar 6, saturasi adalah sistem yang tidak di ketahui dari input output data yang diidentifikasi. Simulasi hasil identifikasi akan di uji pada kasus 3.2. mendatang. Pada gambar 7; (a) orde maksimum power adalah  $5\{x^{I}, x^{2}, ..., x^{5}\}$ , (b) orde maksimum power adalah  $10\{x^{I}, x^{2}, ..., x^{10}\}$ . Metode identifikasi dan evaluasi sama seperti seksi diatas.

Gambar (7) menunjukkan hasil identifikasi, di peroleh kombinasi *fower series*, yang mana; (a)  $\{x^1, x^3, x^5\}$  dengan AIC = -1239,11 dan (b)  $\{x^1, x^3, x^5, x^7, x^9\}$  dengan AIC = -1696,02. Dari hasil *AIC* gambar

(7), jelas identifikasi pada orde 10 adalah yang paling akurat.



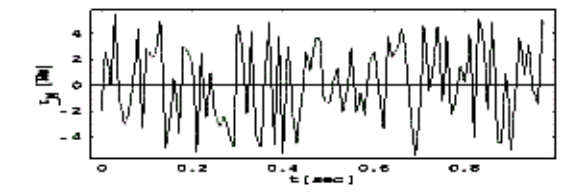
Gambar 6: Elemen Saturasi



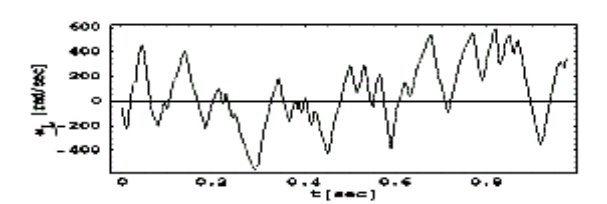
Gambar 7: Hasil preliminary experiment

#### 3.2 Pengujian Metode

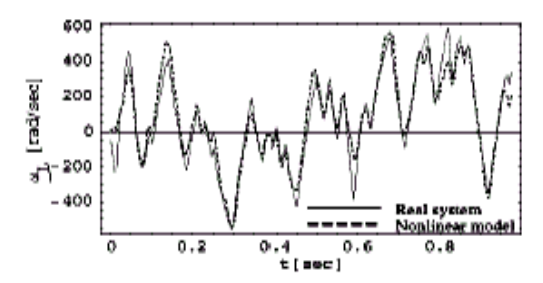
Untuk menguji keefektivan metode ini digunakan 2-mass resonant vibration sistem (seperti pada gambar 1). Parameter nominal ditunjukkan pada tabel 1. Harga nominal torsi saturasi 3,8 Nm. Pada gambar 8 dan 9 menunjukkan input-output data identifikasi. Disini interval sampling 9,5 msec, dan jumlah data 350.



Gambar 8: Input data indentifikasi



Gambar 9: Output data identifikasi



Gambar 10: Hasil identification

Parameter-parameter Algorithma Genetik adalah: probabilitas crossover  $P_c$ =0,5, populasi L=200, dan generasi loop =30. Yang dijalankan pada proses genetik hanya crossover bukan mutasi. Ini mencegah terjadinya gangguan pada nilai chromosom yang telah dijadikan sebagai spouse. Seperti yang telah disebutkan pada seksi terdahulu, orde maksimum power P di set pada 9, dan maximum delay n dan m diset pada 8.

Gambar 10 menunjukkan data time series yang didapat dari model matematik. Akurasi  $A_c$  diperoleh dari model matematik  $\hat{\omega}_L(k)$  yaitu pada persamaan (7).

$$A_{c} = \sum_{k=1}^{N} \frac{(\omega_{L}(k) - \hat{\omega}_{L}(k))^{2}}{\omega_{L}^{2}(k)} x 100\%$$
 (7)

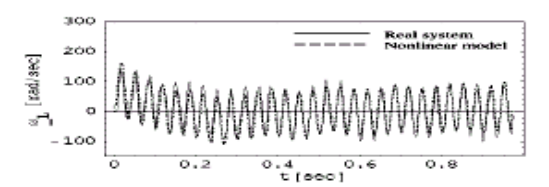
Pada kejadian gambar 10, akurasi  $A_c$ =6,527%. Tabel 2 menunjukkan kombinasi variabel dan koefisien didalam persamaan (5). Dengan membandingkan orde fungsi transfer *linier* pada gambar (2), maksimum time delay yang ditunjukkan diperoleh harga yang besar.

### 3.3 Kemampuan umum model identifikasi

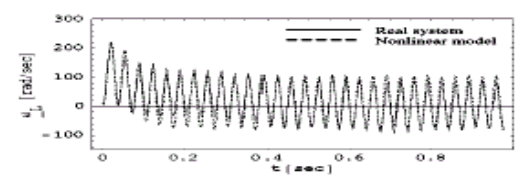
Untuk pembuktian kemampuan umum dari model yang diidentifikasi, akan dibandingkan hasil (respon) dari sistem nyata (real system) dan model yang diidentifikasi. Pada gelombang sinus daerah linier, amplitudo maksimum tidak melebihi torsi saturasi, sedangkan daerah sinyal nonlinier, maksimum amplitudo melebihi nominal torsi saturasi, yang mana keduanya akan digunakan sebagai sinyal input. Sebagai input daerah linier, amplitudo maksimum dari sinyal torsi di set pada 1,5 Nm dan frekwensi 30 Hz., sedangkan sebagai input daerah nonlinier, amplitudo maksimum di set pada 6Nm, yang mana melebihi nominal torsi saturasi dan frekwensi yang di set 30 Hz. Gambar 11 menunjukkan data output time series dari sistem nyata dan model yang diidentifikasi sebagai pengujian pada daerah linier, gambar 12 menunjukkan daerah nonlinier. Akurasi A<sub>c</sub> pada gambar7 adalah 10.155% (linier), dan 9,298% pada gambar 12 (nonlinier). Sesungguhnya A<sub>c</sub> menunjukkan harga yang besar yaitu 9 atau 10 %, disini harga-harga dapat di hitung dengan kenyataan yang ada atau dengan praktek, sebab harga tersebut adalah jumlah dari peak error data time series.

Selanjutnya *input step* di gunakan untuk kecepatan loop sistem dan di hubungkan pada block diagram yang ditunjukkan pada gambar 2. Ini disebabkan tidak mungkin untuk menjaga penambahan torsi yang konstan pada sistem yang nyata. Dengan memasukkan sinyal step kecepatan dengan amplitudo yang besar ke sistem dan model, torsi saturasi terjadi. Gambar 13 adalah data time series dari sistem nyata dan model yang di identifikasi dalam daerah linier dimana saturasi torsi tidak terjadi. Gambar 14 adalah dalam daerah nonlinier di mana saturasi torsi terjadi. Akurasi  $A_c$  adalah 1,56 % dalam gambar (13) dari daerah linier, dan 1,558 % dalam gambar (14) dari daerah non linier. Walaupun akurasi  $A_c$  memeperlihatkan harga yang kecil yaitu 1,5 %, namun output dari model memperlihatkan

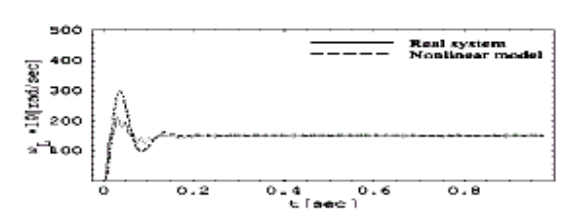
overshot yang lebih besar dari sistem nyata. Hal ini berarti sangat sulit untuk menghasilkan output yang sama dengan model yang diidentifikasi tersebut, karena karakteristik-karakteristik dari gesekan non linier akan selalu berubah, tergantung pada kondisi pengemudian (driver), dengan demikian penyempurnaan lebih lanjut dari metode yang diusulkan ini adalah penting.



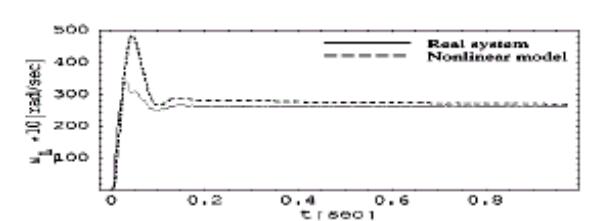
Gambar 11: Output data pada daerah linier



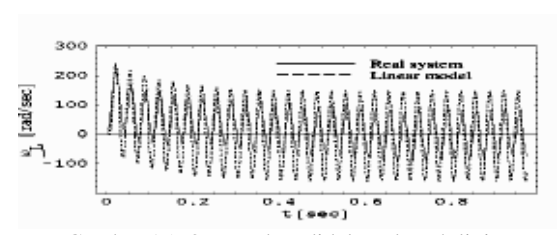
Gambar 12: Output data pada daerah nonlinier



Gambar 13: Output data pada daerah linier



Gambar 14: Output data pada daerah nonlinier



Gambar 15: Output data didalam daerah linier

Table 1: Parameters for 2-mass system

Moment of inertia(Motor)	$J_M$	$9.30 \times 10^{-5}$	[kgm <sup>2</sup> ]
Damping coefficient(Motor)	$D_M$	$4.66 \times 10^{-4}$	$[\mathrm{kgm}^2/\mathrm{s}]$
Moment inertia(Load)	$J_L$	$8.43 \times 10^{-5}$	[kgm <sup>2</sup> ]
Damping coefficient(Load)	$D_L$	$1.54 \times 10^{-5}$	$[kgm^2/s]$
Torsion constant	$K_G$	3.08	[Nm/rad]

Table 2: Coefficients of the identified mathematical model

Variable	Coefficient	Variable	Coefficient	Variable	Coefficient
$\tau_M(k-1)$	7.98086	$\tau_M(k-4)$	22.0473	$\tau_M(k-5)$	-12.4481
$\tau_M^3(k-1)$	-0.576538	$\tau_M^3(k-4)$	-0.830044	$\tau_M^3(k-5)$	-0.0390834
$\tau_M^6(k-1)$	-0.576538	$\tau_M^6(k-4)$	-0.830044	$\tau_M^6(k-5)$	-0.0390834
$ au_M^{7}(k-1)$	0.0023296	$\tau_M^{\uparrow}(k-4)$	0.30105294	$\tau_M^7(k-5)$	$8.1039 \times 10^{-4}$
$\widehat{\omega}_{k}(k-1)$	1.16546	$Sign(\hat{\omega}_L(k-1))$	]	$\tau_M(k-6)$	-0.2246
$\hat{\omega}_L(k-4)$	-0.285292	$Sign(\hat{\omega}_L(k-4))$	2.82488	$\tau_M^3(k-6)$	0.0303113
$\widehat{\omega}_{k}(k-7)$	0.0784792	$Sign(\hat{\omega}_L(k-7))$	_	$\tau_M^6(k-6)$	$1.78235 \times 10^{-5}$

## 3.4 Membandingkan dengan model linier

Gambar 15 memperlihatkan output data time series model linier yang diidentifikasi dari sistem real, input yang sama dalam kasus gambar 12 di gunakan. Dengan membandingkan pada gambar 12, terlihat bahwa *error* nya besar, ini disebabkan karena tidak memperhatikan unsur-unsur nonlinier (pada gambar 15). Hal ini berarti metoda identifikasi sistem yang diajukan ini akan sangat *efektif* yakni dengan memasukkan unsur-unsur nonlinier nya.

#### 4. Kesimpulan

Pada paper ini digunakan identifikasi sistem dengan menggunakan algorithma genetic untuk mechatronics. Metoda yang diajukan efektif untuk sistem yang sulit di deteksi atau diidentifikasi elemenelemen nonliniernva secara langsung. Untuk menunjukkan elemen-elemen non linier yang tidak teramati, metoda yang diajukan ini memperkenalkan fower-series dari variabel-variabel dan fungsi-fungsi nonlinier, dimana variabel-variabel dari time delay di gunakan untuk menunjukkan dinamika-dinamika dari bagian linier. Dalam proses algoritma genetik, suboptimal model matematik yang memperlihatkan sistem secara keseluruhan.

Untuk penelitian selanjutnya (the future time), di perlukan penyempurnaan dari beberapa metoda yang telah diajukan ini, misalnya menanggulangi dinamika-dinamika nonlinier yang akan membuat metoda ini lebih baik untuk menerapkan perancangan konttoller/kompensatornya.

#### Referensi

- [1] Syuichi Adachi, System Identification Theory (in Japaness) Corona 1993.
- [2] R. Haber, H. Unbehauen, Structure Identification of nonlinier Dynamic System – A Survey on Input/output Aproaches, Automatica, Vol. 26, No. 4, pp.651-677 1990.
- [3] Masakatsu Oki, Yasuhide Kobayhasi, Tsuyosi Okita, Identification of a Hammerstain System by Neural Network, IEEE Japan National Convention Record 1999, No. 614, Vol.3, pp.143 1999 (in japaness).
- [4] Hiroaki Kitano, Genetic Algorithm, Sangyo-Tosyo 1993
- [5] David E. Goldberg, Genetic Algorithm in Search, Optimization, and Machin Learning, Addison Wesley, 1989.
- [6] Masatoshi Nakamura, Satoru Goto, Hiroaki, Furono, Nobuhiro Kyura, A Method for Determining Saturation by Use of a Matematical Model for Accurate Contour control of Mechatronic Servo System, Journal of the

- Japan Society for Precision Engineering, Vol.65. No.4, 1999 (in Japaness)
- [7] Ichoro Awaya, Control of Vibration System with Friction, Journal of The Robotic Society of Japan, Vol.13, No.8, pp.1078-1083
- [8] Giichiro Zuzuki, *Introduction to Statistical Analysis by Information Theory*, Kodansya 1995 (in Japaness)
- [9] Makoto Iwasaki, Hiroto Takei, Tomohiro Shibata, Nobuyuki Matsui, Consideration to Dynamic Nonlinier Friction Using Neural Network, IEEE Japan National Convention Records 1999, No.904. Vol.4. pp.279-280 1999 (in Japaness)

## Biografi

Ade Elbani, lahir di Sanggau pada tanggal 22 Mei 1963. Menyelesaikan program Strata I (S1) di Universitas Gajah Mada Fakultas MIPA, Jurusan Fisika, pada tahun 1992 dan program Strata II (S2) di Institut Teknologi Bandung (ITB), Magister Teknik Program Instrumentasi dan Kontrol, Fakultas Teknologi Industri selesai pada tahun 2003. Sejak tahun 1995 sampai sekarang mengajar di Fakultas Teknik Jurusan Teknik Elektro Universitas Tanjungpura. Penelitian yang diminati saat ini adalah : Sistem Pemodelan dan Kontrol.